
Mécanique Quantique I, Corrigé du partiel du 2.12.2014

Exercice 1 : Une marche au fond du puits
1. $0 < E < V_0$ (a) Dans la région 1, on a $E - V(x) = E - V_0 = cste < 0$ donc les fonctions propres cherchées sont de la forme $\psi^I(x) = A'e^{\gamma x} + B'e^{-\gamma x}$ avec

$$\gamma = \sqrt{\frac{2m(V_0 - E)}{\hbar^2}} > 0 \quad (1)$$

ou, de façon équivalente,

$$\psi^I(x) = A \sinh(\gamma x) + B \cosh(\gamma x). \quad (2)$$

Dans la région 2, on a $E - V(x) = E = cste > 0$ donc les fonctions propres cherchées sont de la forme $\psi^{II}(x) = C'e^{ikx} + D'e^{-ikx}$ avec

$$k = \sqrt{\frac{2mE}{\hbar^2}} > 0 \quad (3)$$

ou, de façon équivalente,

$$\psi^{II}(x) = C \sin(kx) + D \cos(kx). \quad (4)$$

On cherche donc les solutions de la forme

$$\psi_E(x) = \begin{cases} A \sinh(\gamma x) + B \cosh(\gamma x) & \text{si } -L/2 < x \leq 0 \text{ (région 1)} \\ C \sin(kx) + D \cos(kx) & \text{si } 0 < x \leq L/2 \text{ (région 2)} \end{cases}. \quad (5)$$

(b) Conditions aux bords : ψ s'annule en $x = \pm L/2$, ce qui implique

$$-A \sinh\left(\frac{\gamma L}{2}\right) + B \cosh\left(\frac{\gamma L}{2}\right) = 0 \quad (6)$$

$$C \sin\left(\frac{kL}{2}\right) + D \cos\left(\frac{kL}{2}\right) = 0, \quad (7)$$

c'est-à-dire

$$B = A \tanh\left(\frac{\gamma L}{2}\right) \quad (8)$$

$$D = -C \tan\left(\frac{kL}{2}\right) \quad \text{ou bien} \quad \left[C = 0 \text{ et } \cos\left(\frac{kL}{2}\right) = 0 \right]. \quad (9)$$

Conditions de raccordement : la continuité de ψ et de sa dérivée impliquent

$$B = D \quad (10)$$

$$\gamma A = kC. \quad (11)$$

Par les Eqs. (11), (8) et (10), respectivement, on voit que si C est nul, alors A , B et D le sont aussi. Par ces mêmes équations, on montre que si A est nul, alors B , C et D le sont aussi. En combinant les Eqs. (8) à (11) on trouve donc que les solutions non indistinctement nulles satisfont

$$A \tanh\left(\frac{\gamma L}{2}\right) = B = D = -C \tan\left(\frac{kL}{2}\right) = -A \frac{\gamma}{k} \tan\left(\frac{kL}{2}\right) \quad [A \neq 0], \quad (12)$$

ce qui avec

$$\frac{kL}{2} = \sqrt{\frac{mEL^2}{2\hbar^2}} \equiv \rho \in]0, \alpha[\quad (13)$$

$$\frac{\gamma L}{2} = \sqrt{\frac{m(V_0 - E)L^2}{2\hbar^2}} = \sqrt{\alpha^2 - \rho^2} \quad (14)$$

s'écrit

$$f(\rho) = g_\alpha(\rho) \quad (15)$$

où

$$f(\rho) = \frac{\tan \rho}{\rho} \quad (16)$$

$$g_\alpha(\rho) = -\frac{\tanh \sqrt{\alpha^2 - \rho^2}}{\sqrt{\alpha^2 - \rho^2}}. \quad (17)$$

(c) Pour représenter g_α , on se sert des observations suivantes (cf rappel de l'énoncé) :

— $\tanh(y) \sim y$ [$y \rightarrow 0$], d'où $\lim_{y \rightarrow 0} \frac{\tanh y}{y} = 1$ et donc

$$\lim_{\rho \rightarrow \alpha^-} g_\alpha(\rho) = -1; \quad (18)$$

— $y \mapsto -\tanh(y)/y$ est une fonction négative et croissante sur \mathbb{R}^+ [y croît plus rapidement que $\tanh(y)$], donc g_α est négative et décroissante sur $I_\alpha =]0, \alpha[$ puisque $\rho \mapsto \sqrt{\alpha^2 - \rho^2}$ est décroissante sur I_α .

On obtient donc les allures suivantes pour $\alpha = \frac{\pi}{4}$ et $\alpha = \pi$:

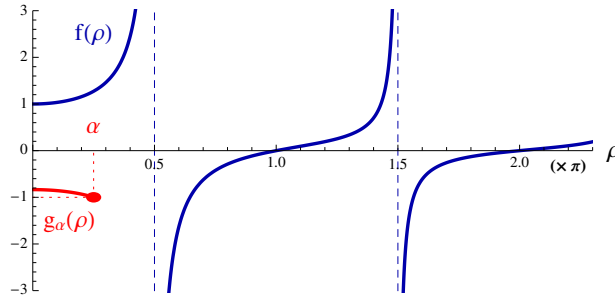


FIGURE 1 – Solution graphique de l'Eq. (15) pour $\alpha = \pi/4$: aucune intersection pour $\rho \in]0, \alpha[$.

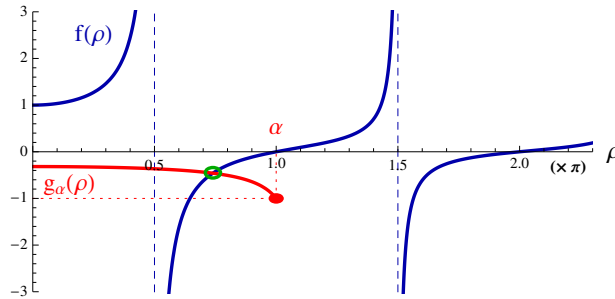


FIGURE 2 – Solution graphique pour $\alpha = \pi$: une unique intersection, marquée d'un cercle vert.

Pour $\alpha = \pi/4$, l'Eq. (15) n'admet aucune solution dans I_α , puisque f et g_α sont respectivement strictement positive et strictement négative sur cet intervalle. Pour $\alpha = \pi$, on n'a pas de solution sur $]0, \pi/2]$ (pour la même raison), et une unique intersection sur $]\pi/2, \alpha[$ (justification : sur cet intervalle $\Delta_\alpha = f - g_\alpha$ est continue et strictement croissante, avec $\lim_{\rho \rightarrow (\pi/2)^+} \Delta_\alpha(\rho) = -\infty$ et $\lim_{\rho \rightarrow \alpha^-} \Delta_\alpha(\rho) = 1 > 0$).

- (d) Sur la base de l'étude graphique précédente, on voit que le nombre d'intersections (c'est-à-dire d'états propres tels que $0 < E < V_0$) croît par paliers avec la valeur de α et que ce nombre augmente précisément d'une unité lorsque α dépasse un u_i , où les u_i ($i = 1, 2, \dots$, avec $u_1 < u_2 < \dots$) sont les solutions strictement positives de l'équation $\tan(u)/u = -1$. Cette situation est illustrée ci-dessous pour le cas $\alpha = u_2$; on notera que l'intersection à $\rho = \alpha = u_2$ n'est pas comptabilisée car elle correspond à une énergie propre $E = V_0$, et la forme générale (2) doit être réexaminée dans ce cas (c'est pourquoi on cherche les solutions $0 < E < V_0$); mais dès que α dépasse u_2^+ d'une quantité infinitésimale, on a apparition d'une nouvelle solution $E < V_0$.

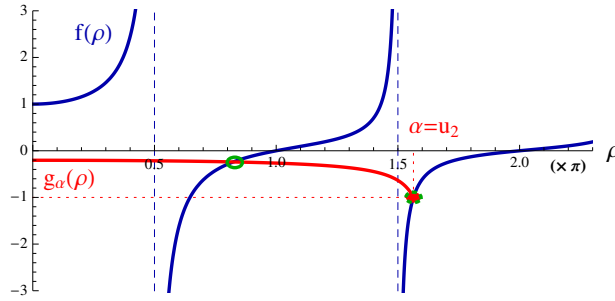


FIGURE 3 – Solution graphique pour $\alpha = u_2$: une intersection dans $]\pi/2, \pi[$, en vert, et une intersection sur le point d'émerger dans $]\pi, 2\pi[$, en pointillé vert.

Pour $\alpha \leq u_1$, on n'a aucun état propre d'énergie $E < V_0$ (situation illustrée par le cas particulier $\alpha = \pi/4 < u_1$). Pour $u_i < \alpha \leq u_{i+1}$, on a i états propres, et les énergies $E_j^{(\alpha)}$ correspondantes ($j = 1, \dots, i$) découlent des intersections $\rho_j^{(\alpha)}$ de l'étude graphique, que l'on peut localiser chacune dans un intervalle $]u_j, j\pi[\subset](j - \frac{1}{2})\pi, j\pi[$.

2. Pour $E > V_0$, la forme générale de la fonction d'onde dans la région 2 demeure inchangée, tandis que la forme générale dans la région 1 devient

$$\psi^I(x) = A \sin(k'x) + B \cos(k'x), \quad (19)$$

avec

$$k' = \sqrt{\frac{2m(E - V_0)}{\hbar^2}} > 0. \quad (20)$$

Les équations (8), (9), (10) et (11) deviennent

$$-A \sin\left(\frac{k'L}{2}\right) + B \cos\left(\frac{k'L}{2}\right) = 0 \quad (21)$$

$$C \sin\left(\frac{kL}{2}\right) + D \cos\left(\frac{kL}{2}\right) = 0 \quad (22)$$

$$B = D \quad (23)$$

$$k'A = kC, \quad (24)$$

Supposons que $\cos(kL/2)$ et $\cos(k'L/2)$ sont tous les deux non nuls. Sous cette hypothèse, les solutions sont données par

$$A \tan\left(\frac{k'L}{2}\right) = B = D = -C \tan\left(\frac{kL}{2}\right) = -A \frac{k'}{k} \tan\left(\frac{kL}{2}\right), \quad (25)$$

où $kL/2 = \rho$ et $k'L/2 = \sqrt{\rho^2 - \alpha^2}$; comme $A = 0$ impliquerait une solution identiquement nulle, ceci s'écrit $f(\rho) = h_\alpha(\rho)$, avec

$$h_\alpha(\rho) = -\frac{\tan \sqrt{\rho^2 - \alpha^2}}{\sqrt{\rho^2 - \alpha^2}}, \quad (26)$$

qui est la fonction cherchée.

Remarque (discussion non demandée) : si $\cos(kL/2) = 0$, alors $C = 0$ [Eq. (22)], $A = 0$ [Eq. (24)], et donc $B = D = 0$ (solution identiquement nulle, à rejeter) ou $\cos(k'L/2) = 0$ [Eq. (21)]; réciproquement, si $\cos(k'L/2) = 0$ alors $\cos(kL/2) = 0$. Ainsi, soit $\cos(kL/2)$ et $\cos(k'L/2)$ sont tous les deux nuls, soit tous les deux non nuls. Le second cas de figure a été discuté plus haut. Le premier cas de figure ne se produit que pour des valeurs bien particulières de α (par exemple $4\pi\sqrt{2}$, $4\pi\sqrt{6}, \dots$) et un des états $E > V_0$, qui correspondent à l'existence d'entiers $n > n' > 0$ tels que $(\rho/2\pi)^2 = (2n+1)^2$ et $(\rho/2\pi)^2 - (\alpha/2\pi)^2 = (2n'+1)^2$. Ce sont des événements "accidentels" dans l'espace des paramètres, qui correspondent à des intersections d'ordonnée $\pm\infty$ (mal définie) dans l'étude graphique de l'équation $f(\rho) = h_\alpha(\rho)$. Cette discussion avancée n'était pas demandée.

Exercice 2 : Moment cinétique

1. Exprimant x , y et z en coordonnées sphériques, on trouve

$$\hat{L}_z \psi_x(x, y, z) = -i\hbar \frac{\partial}{\partial \phi} [r \sin \theta \cos \phi f(r)] = i\hbar r \sin \theta \sin \phi f(r) = i\hbar \psi_y(x, y, z) \quad (27)$$

$$\hat{L}_z \psi_y(x, y, z) = -i\hbar \frac{\partial}{\partial \phi} [r \sin \theta \sin \phi f(r)] = -i\hbar r \sin \theta \cos \phi f(r) = -i\hbar \psi_x(x, y, z) \quad (28)$$

$$\hat{L}_z \psi_z(x, y, z) = -i\hbar \frac{\partial}{\partial \phi} [r \cos \theta f(r)] = 0, \quad (29)$$

ce qui en terme d'états s'écrit

$$\hat{L}_z |\psi_x\rangle = i\hbar |\psi_y\rangle \quad (30)$$

$$\hat{L}_z |\psi_y\rangle = -i\hbar |\psi_x\rangle \quad (31)$$

$$\hat{L}_z |\psi_z\rangle = 0. \quad (32)$$

On note en particulier que $|\psi_z\rangle$ est un vecteur propre de \hat{L}_z pour la valeur propre 0 et que le sous-espace engendré par $|\psi_x\rangle$ et $|\psi_y\rangle$ est stable sous l'action de \hat{L}_z .

2. Deux remarques sont de mise : d'une part la direction z ne joue aucun rôle particulier en coordonnées cartésiennes et, de même, \hat{L}_z ne joue aucun rôle particulier dans la famille $\{\hat{L}_x, \hat{L}_y, \hat{L}_z\}$; d'autre part, l'action de \hat{L}_z est orientée (il s'agit d'un moment cinétique) dans le sens où à un facteur $i\hbar$ près elle envoie $|\psi_x\rangle$ sur $|\psi_y\rangle$ et $|\psi_y\rangle$ sur $-|\psi_x\rangle$, avec un signe moins. On obtient donc l'action de \hat{L}_x et \hat{L}_y sur les états $|\psi_j\rangle$ ($j = x, y, z$) par permutation cyclique $(x, y, z) \rightarrow (y, z, x) \rightarrow (z, y, x)$ des coordonnées dans les expressions (30) à (32), ce qui donne :

$$\begin{aligned} \hat{L}_x |\psi_x\rangle &= 0 & \hat{L}_y |\psi_x\rangle &= -i\hbar |\psi_z\rangle \\ \hat{L}_x |\psi_y\rangle &= i\hbar |\psi_z\rangle & \hat{L}_y |\psi_y\rangle &= 0 \\ \hat{L}_x |\psi_z\rangle &= -i\hbar |\psi_y\rangle & \hat{L}_y |\psi_z\rangle &= i\hbar |\psi_x\rangle \end{aligned} \quad (33)$$

On en déduit l'action de $\hat{L}^2 = \hat{L}_x^2 + \hat{L}_y^2 + \hat{L}_z^2$ sur ces mêmes états :

$$\hat{L}^2 |\psi_x\rangle = \hat{L}_y^2 |\psi_x\rangle + \hat{L}_z^2 |\psi_x\rangle = -i\hbar \hat{L}_y |\psi_z\rangle + i\hbar \hat{L}_z |\psi_y\rangle = 2\hbar^2 |\psi_x\rangle, \quad (34)$$

et on montre par le même procédé que $|\psi_y\rangle$ et $|\psi_z\rangle$ sont des vecteurs propres de \hat{L}^2 , de valeur propre associée $2\hbar^2$ [remarque non demandée : ceci correspond à un moment cinétique $l = 1$ en trois dimensions, caractérisé par la valeur propre $l(l+1)\hbar^2 = 2\hbar^2$ de \hat{L}^2].

3. Considérons d'abord l'action sur $|\psi_z\rangle$:

$$\hat{U}(\alpha)|\psi_z\rangle = e^{-i\alpha\hat{L}_z/\hbar}|\psi_z\rangle = \left[\mathbb{1} + \sum_{n=1}^{\infty} \frac{1}{n!} \left(\frac{-i\alpha\hat{L}_z}{\hbar} \right)^n \right] |\psi_z\rangle = |\psi_z\rangle, \quad (35)$$

puisque $\hat{L}_z|\psi_z\rangle = 0$. Pour calculer l'action de $\hat{U}(\alpha)$ sur $|\psi_x\rangle$, on remarque que les puissances paires (resp. impaires) de \hat{L}_z envoient $|\psi_x\rangle$ sur $|\psi_x\rangle$ (resp. sur $|\psi_y\rangle$) à un facteur près :

$$\hat{L}_z^{2p}|\psi_x\rangle = (\hat{L}_z^2)^p|\psi_x\rangle = \hbar^{2p}|\psi_x\rangle \quad (36)$$

$$\hat{L}_z^{2p+1}|\psi_x\rangle = \hat{L}_z(\hat{L}_z^2)^p|\psi_x\rangle = i\hbar^{2p+1}|\psi_y\rangle, \quad (37)$$

ce qui nous amène à scinder la série de l'exponentielle en deux :

$$\begin{aligned} \hat{U}(\alpha)|\psi_x\rangle &= \left[\sum_{p=0}^{\infty} \frac{1}{(2p)!} \left(\frac{-i\alpha\hat{L}_z}{\hbar} \right)^{2p} + \sum_{p=0}^{\infty} \frac{1}{(2p+1)!} \left(\frac{-i\alpha\hat{L}_z}{\hbar} \right)^{2p+1} \right] |\psi_x\rangle \\ &= \left[\sum_{p=0}^{\infty} \frac{(-i\alpha)^{2p}}{(2p)!} \right] |\psi_x\rangle + \left[i \sum_{p=0}^{\infty} \frac{(-i\alpha)^{2p+1}}{(2p+1)!} \right] |\psi_y\rangle \\ &= \left[\sum_{p=0}^{\infty} \frac{(-1)^p}{(2p)!} \alpha^{2p} \right] |\psi_x\rangle + \left[\sum_{p=0}^{\infty} \frac{(-1)^p}{(2p+1)!} \alpha^{2p+1} \right] |\psi_y\rangle \\ &= \cos \alpha |\psi_x\rangle + \sin \alpha |\psi_y\rangle, \end{aligned} \quad (38)$$

où l'on a identifié les séries des cos et sin. Pour rappel, ces séries sont obtenues par exactement le même procédé comme parties réelle et imaginaire de

$$\cos \alpha + i \sin \alpha = e^{i\alpha} = \sum_{n=0}^{\infty} \frac{(i\alpha)^n}{n!} = \sum_{p=0}^{\infty} \frac{(-1)^p \alpha^{2p}}{(2p)!} + i \sum_{p=0}^{\infty} \frac{(-1)^p \alpha^{2p+1}}{(2p+1)!}. \quad (39)$$

L'action de $\hat{U}(\alpha)$ sur $|\psi_y\rangle$ se calcule de façon similaire, en observant que

$$\hat{L}_z^{2p}|\psi_y\rangle = \hbar^{2p}|\psi_y\rangle \quad (40)$$

$$\hat{L}_z^{2p+1}|\psi_y\rangle = \hbar^{2p}\hat{L}_z|\psi_y\rangle = -i\hbar^{2p+1}|\psi_x\rangle. \quad (41)$$

On aboutit finalement à

$$\hat{U}(\alpha)|\psi_y\rangle = \cos \alpha |\psi_y\rangle - \sin \alpha |\psi_x\rangle. \quad (42)$$

En résumé, on a donc

$$\hat{U}(\alpha)|\psi_j\rangle = \sum_k R_{j,k}|\psi_k\rangle \quad (43)$$

avec

$$R = \begin{pmatrix} \cos \alpha & -\sin \alpha & 0 \\ \sin \alpha & \cos \alpha & 0 \\ 0 & 0 & 1 \end{pmatrix}. \quad (44)$$

Remarque (non demandé) : on reconnaît une matrice de rotation d'angle α autour de l'axe z dans \mathbb{R}^3 (en adéquation avec la notion que \hat{L}_z est le générateur des rotations autour de l'axe z) et on constate que les états $|\psi_j\rangle$ se transforment comme les vecteurs unitaires \mathbf{u}_j ($j = x, y, z$) de \mathbb{R}^3 .